

## РАДИОФИЗИКА

УДК 538.56:519.25

### О ВЛИЯНИИ ШУМА НА ПЕРЕХОДЫ К ХАОСУ ЧЕРЕЗ ПЕРЕМЕЖАЕМОСТЬ

П. С. Ланда

(кафедра общей физики и волновых процессов)

Рассмотрен переход к хаосу через перемежаемость, возникающий при слиянии устойчивого предельного цикла с двумя неустойчивыми, в случае, когда система может быть описана одномерным точечным отображением. Показано, что наличие внешнего шума дестабилизирует движение системы, увеличивая ляпуновский показатель.

Известно [1, 2], что переход к хаосу через перемежаемость происходит тогда, когда устойчивый режим сливается с неустойчивым и исчезает, а на его месте в фазовом пространстве системы возникает хаотический аттрактор. Вблизи такого перехода поведение системы в течение длительных промежутков времени является почти регулярным. Эти участки регулярного поведения («ламинарные» фазы) перемежаются короткими нерегулярными всплесками («турбулентные» фазы). В простейшем случае, когда поведение системы описывается одномерным точечным отображением, зависящим от одного параметра, среднюю длительность «ламинарной» фазы  $\tau$  вблизи точки перехода удается рассчитать либо методом ренормгруппы [3–5], либо путем замены точечного отображения соответствующим дифференциальным уравнением [6–9].

Для определения характера движения после перехода основную роль играет ляпуновский показатель. Расчет ляпуновского показателя  $\lambda$  проведен в работах [7, 9]. Очевидно, что на величины  $\tau$  и  $\lambda$  существенное влияние должен оказывать внешний шум, действующий на систему. Это влияние частично рассмотрено в работах [3–9], где показано, что внешний шум всегда уменьшает среднюю длительность ламинарной фазы. Что же касается значения ляпуновского показателя, то, как следует из работы [9] и представленных ниже результатов, шум может его как уменьшать (т. е. стабилизировать движение системы), так и увеличивать (дестабилизировать). Отметим, что аналогичные эффекты наблюдаются и при переходах к хаосу через последовательность бифуркаций удвоения периода [10, 11].

В большинстве имеющихся работ [1–7, 9] переход через перемежаемость рассматривается на примере системы, описываемой одномерным точечным отображением вида

$$\bar{x} = \varepsilon + x + ax^z + g\xi, \quad (1)$$

где  $\varepsilon$  — бифуркационный параметр,  $z$  — четное число,  $g\xi$  — внешний шум,  $\langle \xi \rangle = 0$ ,  $\langle \xi_n \xi_m \rangle = \delta_{mn}$ ,  $\delta_{mn}$  — символ Кронекера. В [9] показано, что для таких систем шум при определенном условии оказывает стабилизирующее влияние на движение, поскольку забрасывает отображающую точку на сжимающий участок отображения.

В настоящей работе, следуя [8], рассмотрим другой тип перехода к хаосу через перемежаемость, когда в отображении отсутствуют сжимающие участки и оно имеет вид, показанный на рис. 1. В момент

перехода устойчивая неподвижная точка  $M$  сливается с двумя неустойчивыми точками  $M'$  и  $M''$  и становится неустойчивой. За счет участков отображения  $\Pi$  и  $\Pi'$  отображающая точка возвращается в область вблизи точки  $M$ . При небольшом  $x_0$  участок  $I$  отображения можно аппроксимировать следующей формулой:

$$\bar{x} = (1 + \varepsilon + ax^z)x, \quad (2)$$

где  $z$  — четное число (в наиболее типичном случае  $z=2$ ). Момент перехода соответствует  $\varepsilon=0$ . При достаточно малых  $\varepsilon$  отображающая точка длительное время будет находиться вблизи точки  $M$ , т. е. движение будет близким к периодическому («ламинарная» фаза). Участ-

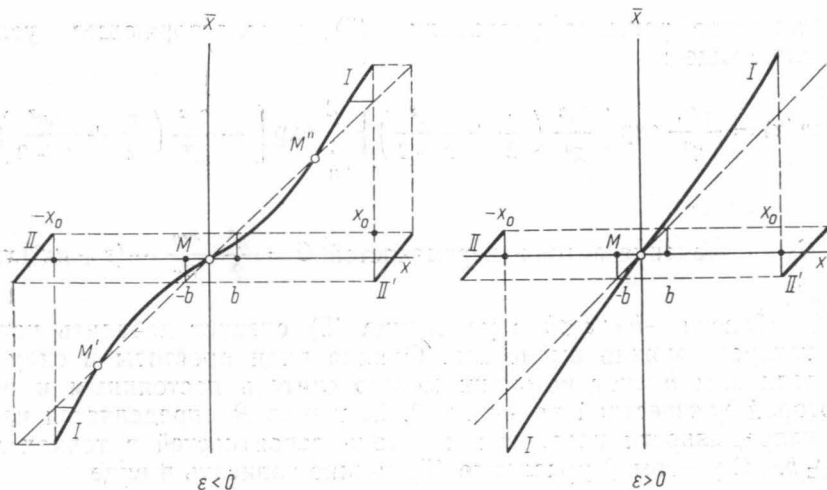


Рис. 1. Вид точечного отображения вблизи перехода к хаосу через перемежаемость

ки такого движения будут перемежаться короткими «турбулентными» всплесками, соответствующими переходам в области отображения  $\Pi$ ,  $\Pi'$  и обратно.

С учетом внешнего шума отображение (2) можно записать в виде

$$\bar{x} = (1 + \varepsilon + ax^z)x + g\xi, \quad (3)$$

где  $\langle \xi \rangle = 0$ ,  $\langle \xi_n \xi_m \rangle = \delta_{nm}$ . При  $|\varepsilon|$ ,  $g$ ,  $ax_0^z \ll 1$  уравнение (3) может быть заменено дифференциальным уравнением

$$dx/dt = (\varepsilon + ax^z)x + g\xi(t), \quad (4)$$

где  $\langle \xi(t) \rangle = 0$ ,  $\langle \xi(t) \xi(t') \rangle = \delta(t-t')$ .

Рассмотрим для простоты случай полностью симметричного отображения, как это показано на рис. 1, и будем считать, что участки обмена отображающих точек между областями  $I$ ,  $\Pi$  и  $\Pi'$  малы. Соответствующие условия малости имеют вид  $\varepsilon + ax_0^z$ ,  $k(\varepsilon + ax_0^z) \ll 1$ , где  $k$  — тангенс угла наклона участков отображения  $\Pi$  и  $\Pi'$ . При этом участками обмена вблизи точек  $\mp x_0$  в силу их малости можно просто пренебречь, тогда как участок  $[-b, b]$  (см. рис. 1) вблизи точки  $x=0$  необходимо учитывать ввиду нахождения в нем неподвижной точки

$M^*$ . (При стремлении  $b$  к нулю распределение вероятностей в точке  $x=0$  получает особенность.)

В областях  $b \ll |x| \ll x_0$  уравнению (4) можно сопоставить уравнение Фоккера—Планка без источника:

$$\frac{\partial w}{\partial t} = - \frac{\partial}{\partial x} [(\varepsilon + ax^2)xw] + \frac{g^2}{2} \frac{\partial^2 w}{\partial x^2}. \quad (5)$$

Поскольку все точки, достигшие границы  $x_0$ , уходят из рассматриваемого интервала, то

$$w(\pm x_0) = 0. \quad (6)$$

Стационарное решение уравнения (5), удовлетворяющее условиям (6), следующее:

$$w(x) = \frac{2G_0}{g^2} \exp \left[ \frac{2x^2}{g^2} \left( \frac{\varepsilon}{2} + \frac{ax^2}{z+2} \right) \right] \int_{|x|}^{x_0} \exp \left[ - \frac{2y^2}{g^2} \left( \frac{\varepsilon}{2} + \frac{ay^2}{z+2} \right) \right] dy, \quad (7)$$

где  $G_0$  — значение потока вероятностей  $G = \frac{g^2}{2} \frac{\partial w}{\partial x} - (\varepsilon + ax^2)xw$  при  $|x| \geq b$ .

В области  $-b \leq x \leq b$  в уравнение (5) следует добавить источник, вид которого можно вычислить. Однако ради простоты в силу малости величины  $b$  этот источник можно считать постоянным и равным некоторой неизвестной величине  $R$ . Значение  $R$  определяется из условий непрерывности плотности и потока вероятностей в точках  $x=0$  и  $x = \pm b$ . С учетом  $R$  уравнение (5) можно записать в виде

$$\frac{\partial w}{\partial t} = - \frac{\partial G}{\partial x} + R. \quad (8)$$

Из условия  $\partial w / \partial x|_{x=0} = 0$ , вытекающего из симметрии плотности вероятностей при положительных и отрицательных значениях  $x$ , и выражения для потока вероятностей  $G$  в стационарном случае находим

$$G(x) = Rx \quad \text{при } -b \leq x \leq b. \quad (9)$$

Полагая в (9)  $x=b$ , получаем связь между  $G_0$  и  $R$ :

$$R = G_0/b. \quad (10)$$

С учетом (10) стационарное решение уравнения (8) в области  $|x| \leq b$ , удовлетворяющее условиям непрерывности в точке  $x=b$ , имеет вид

$$w(x) = \frac{2G_0}{g^2} \exp \left[ \frac{2x^2}{g^2} \left( \frac{\varepsilon}{2} + \frac{ax^2}{z+2} \right) \right] \left\{ \int_b^{x_0} \exp \left[ - \frac{2y^2}{g^2} \left( \frac{\varepsilon}{2} + \frac{ay^2}{z+2} \right) \right] dy + \frac{1}{b} \int_x^b y \exp \left[ - \frac{2y^2}{g^2} \left( \frac{\varepsilon}{2} + \frac{ay^2}{z+2} \right) \right] dy \right\}. \quad (11)$$

\* Величина  $b$  определяется участками отображения II и II'. Ее геометрический смысл виден из рис. 1.

Из условия нормировки находим  $G_0^{-1}$ :

$$G_0^{-1} = \frac{4}{g^2} \left\{ \int_0^{x_0} \exp \left[ \frac{2x^2}{g^2} \left( \frac{\varepsilon}{2} + \frac{ax^2}{z+2} \right) \right] \int_x^{x_0} \exp \left[ -\frac{2y^2}{g^2} \left( \frac{\varepsilon}{2} + \frac{ay^2}{z+2} \right) \right] dy dx + \frac{1}{b} \int_0^b \exp \left[ \frac{2x^2}{g^2} \left( \frac{\varepsilon}{2} + \frac{ax^2}{z+2} \right) \right] \times \right. \\ \left. \times \int_x^b (y-b) \exp \left[ -\frac{2y^2}{g^2} \left( \frac{\varepsilon}{2} + \frac{ay^2}{z+2} \right) \right] dy dx \right\}. \quad (12)$$

В предельном случае  $g=0$  непосредственно из уравнений (5) и (8) имеем

$$\omega(x) = \begin{cases} G_0/[(\varepsilon + ax^2)|x|] & \text{при } b \leq |x| \leq x_0, \\ G_0/[(\varepsilon + ax^2)b] & \text{при } 0 \leq |x| \leq b, \end{cases} \quad (13)$$

где

$$G_0^{-1} = \frac{2}{\varepsilon} \left[ \ln \frac{x_0}{b} - \frac{1}{z} \ln \frac{\varepsilon + ax_0^2}{\varepsilon + ab^2} + \frac{1}{b} \left( \frac{\varepsilon}{a} \right)^{1/2} I_z \right], \quad (14)$$

$$I_z = \int_0^{b(a/\varepsilon)^{1/2}} dy / (1 + y^2).$$

При  $z=2$   $I_2 = \arctg(\sqrt{a/\varepsilon} b)$ , при  $z=4$

$$I_4 = \frac{1}{4\sqrt{2}} \left[ \ln \frac{1 + \sqrt{2} b(a/\varepsilon)^{1/4} + b^2 \sqrt{a/\varepsilon}}{1 - \sqrt{2} b(a/\varepsilon)^{1/4} + b^2 \sqrt{a/\varepsilon}} + 2 \arctg \frac{\sqrt{2} b(a/\varepsilon)^{1/4}}{1 - b^2 \sqrt{a/\varepsilon}} \right].$$

В предельном случае малых  $\varepsilon$   $I_2 \rightarrow \pi/2$ ,  $I_4 \rightarrow \sqrt{2}\pi/4$ .

Графики функции  $\omega(x)$  при различных значениях параметров приведены на рис. 2. Как следует из результатов численного счета\*, при  $g^2 \gg g_c^2(z)$ , где  $g_c^2 \sim 10^{-7}$  для  $z=2$  и  $10^{-8}$  для  $z=4$ , распределение вероятностей практически перестает зависеть от  $g^2$ . Кроме того, при  $g^2 \gg 10^{-7}$  оно почти одинаково для  $z=2$  и  $z=4$ .

В силу сделанного выше предположения о малости величины  $b$  по сравнению с  $x_0$ , для вычисления средней длительности ламинарной фазы можно считать, что поток вероятности постоянен и равен  $G_0$ . Тогда с учетом того, что отображающая точка находится в области  $x > 0$  с вероятностью  $1/2$ , по аналогии с [9] можно записать

$$\tau = G_0^{-1}/2. \quad (15)$$

При  $g^2=0$  и достаточно малых  $\varepsilon$  из (15) и (14) получаем

$$\tau = I_z (ba^{1/z} \varepsilon^{(z-1)/z}). \quad (16)$$

Отсюда видно, что при малых  $\varepsilon$  величина  $\tau \sim \varepsilon^{-(1-1/z)}$ . В частности, при  $z=2$   $\tau \sim \varepsilon^{-1/2}$ , что совпадает с результатами работы [8].

\* Здесь и ниже приводятся результаты численного счета, полученные Т. С. Ландой.

Оценим зависимость  $\tau$  от  $g^2$  в предельном случае  $\varepsilon=0$ . Полагая в (12)  $u = (2a/(z+2)g^2)^{1/(z+2)}x$ , получим

$$\tau = 2 \left( \frac{z+2}{2a} \right)^{2/(z+2)} g^{-2z/(z+2)} B, \quad (17)$$

где

$$B = \int_0^{u_0} \exp(u^{z+2}) \int_u^{u_0} \exp(-v^{z+2}) dv du + \frac{1}{b_0} \int_0^{b_0} \exp(u^{z+2}) \int_u^{b_0} (v-b_0) \times \\ \times \exp(-v^{z+2}) dv du,$$

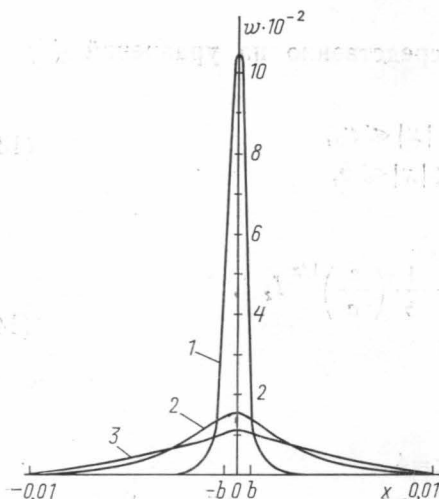


Рис. 2. Зависимость  $\omega(x)$  при  $a=30$ ,  $x_0=0,01$ ,  $\varepsilon=10^{-5}$ ,  $z=2$ ,  $k=20$ ,  $b=(k/2)(\varepsilon+ax_0^2)x_0 \approx 3 \cdot 10^{-4}$ :  $g^2=0$  (1),  $10^{-8}$  (2) и  $10^{-7}$  (3)

Показали, что зависимость  $\tau$  от  $g^2$  при  $g^2 \geq 10^{-8}$  практически не зависит от  $\varepsilon$ , а при  $g^2 \geq 10^{-6}$  — и от  $z$ . Ее вид продемонстрирован на рис. 3.

Величину ляпуновского показателя для рассматриваемого отображения можно вычислить по формуле, аналогичной приведенной в работе [9]:

$$\lambda = 2 \int_0^{x_0} \omega(x) \ln(1 + \varepsilon + a(z+1)x^2) dx + \frac{1}{\tau} \ln|k|. \quad (18)$$

При  $g=0$ ,  $\varepsilon + a(z+1)x_0^z \ll 1$  с учетом (13), (15) получаем

$$\lambda = \frac{1}{\tau} \left[ 1 + z + \ln \frac{x_0(\varepsilon + ax_0^z)}{b(\varepsilon + ab^z)} - \frac{z}{b} \left( \frac{\varepsilon}{a} \right)^{1/z} I_z + \ln|k| \right]. \quad (19)$$

При достаточно малых  $\varepsilon$ , как следует из (19) и (16), величина  $\lambda$  с ростом  $\varepsilon$  нарастает пропорционально  $\varepsilon^{(1-1/z)}$ . Зависимости  $\lambda$  от  $\varepsilon$  при различных значениях  $g^2$  и от  $g^2$  при  $\varepsilon=0$  показаны на рис. 4. Еще раз отметим, что в отличие от случая, рассмотренного в работе [9], внешний

шум дестабилизирует поведение системы, существенно увеличивая ляпуновский показатель. Это отличие связано с тем, что при  $\varepsilon > 0$  отображение в области I не имеет сжимающих участков, а при  $\varepsilon < 0$  шум

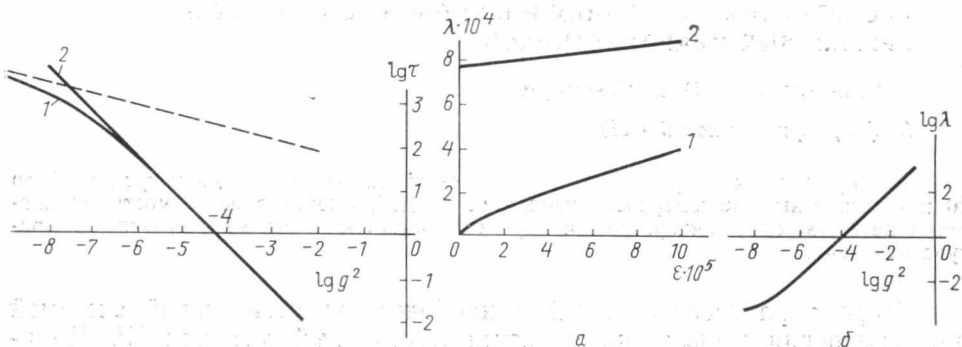


Рис. 3. Зависимость  $\lg \tau$  от  $\lg g^2$  при  $a=30$ ,  $x_0=0,01$ ,  $b=3 \cdot 10^{-4}$ :  $z=2$  (1),  $z=0$  (2); штриховая линия — асимптотическая зависимость  $\lg \tau$  от  $\lg g^2$  при  $\varepsilon=0$ .

Рис. 4. Зависимость  $\lambda$  от  $\varepsilon$  при  $z=2$ ,  $g^2=$   $=0$  (1),  $10^{-8}$  (2) — а; зависимость  $\lg \lambda$  от  $\lg g^2$  при  $\varepsilon=0$ ,  $z=2$  — б

забрасывает отображающую точку на растягивающие участки отображения.

#### СПИСОК ЛИТЕРАТУРЫ

[1] Manneville P., Pomeau Y. // Phys. Lett. 1979. A75, N 1; 2. P. 1—2; Physica. 1980. D1, N 2. P. 219—226; Comm. Math. Phys. 1980. 74, N 2. P. 189—197. [2] Eckmann J. P. // Rev. Mod. Phys. 1981. 53, N 4, Pt. 1. P. 643—654. [3] Hirsch J. E., Nauenberg M., Scalapino D. J. // Phys. Lett. 1982. A87, N 8. P. 391—393. [4] Hu B., Rudnick J. // Phys. Rev. Lett. 1982. 48, N 24. P. 1645—1648. [5] Eckmann J. P., Thomas L., Wittwer P. // J. Phys. A. 1981. 14, N 12. P. 3153—3168. [6] Hirsch J. E., Huberman B. A., Scalapino D. J. // Phys. Rev. 1982. A25, N 1. P. 519—532. [7] Пиковский А. С. Препринт № 39 ИГФ АН СССР. Горький, 1981. [8] Píkovsky A. S. // J. Phys. A: Math. Gen. 1983. 16. P. 109—112. [9] Ланда П. С., Стратонович Р. Л. // Изв. вузов, Радиофизика. 1987. 30, № 1. С. 65—69. [10] Shraiman B., Wayne C. E., Martin P. C. // Phys. Rev. Lett. 1981. 46, N 14. P. 935—939. [11] Matsumoto K., Tsuda I. // J. Stat. Phys. 1983, 31, N 1. P. 87—108.

Поступила в редакцию  
07.01.86